

Кобзев Г.И.

(заведующий лабораторией компьютерного моделирования
Института микро- и нанотехнологий ОГУ, кандидат химических наук)

ЗАВИСИМОСТЬ ЛЮМИНЕСЦЕНЦИИ МОЛЕКУЛЯРНОГО КИСЛОРОДА ОТ СОРТА И ЧИСЛА АТОМОВ, ВХОДЯЩИХ В СОСТАВ КОМПЛЕКСА, И ЧИСЛА МОЛЕКУЛ ОКРУЖЕНИЯ КИСЛОРОДА

На основе неэмпирических и полуэмпирических расчетов выявлен первичный кооперативный эффект влияния молекул растворителя на люминесценцию молекулярного кислорода.

Молекула кислорода отличается от большинства органических и неорганических молекул уникальной способностью к обменным взаимодействиям, что связано со спецификой структуры двух внешних вырожденных по энергии молекулярных орбиталей (МО) π_g , на каждой из которых расположено по одному электрону с одинаковыми спинами. Обе π_g МО взаимно ортогональны и обладают разной орбитальной симметрией [1].

Основное электронное состояние молекулы кислорода представляет собой триплетное состояние ($X^3\Sigma_g-$). Первые два возбужденных состояния являются синглетными (${}^1\Delta_g$) и (${}^1\Sigma_g^+$), причем состояние (${}^1\Delta_g$) дважды вырождено, и его компоненты обозначают ($a^1\Delta_g$), ($a'^1\Delta_g$). Вторая компонента ($a'^1\Delta_g$) отличается по своей структуре от ($a^1\Delta_g$) и обычно называется темновой. Энергия возбуждения из основного триплетного состояния молекулы кислорода в первые возбужденные синглетные состояния лежит в инфракрасной области и составляет 0.98 эВ для состояний ($a^1\Delta_g$), ($a'^1\Delta_g$) и 1.63 эВ для состояния (${}^1\Sigma_g^+$) [1]. Излучательные электродипольные переходы ($a^1\Delta_g$) \rightarrow ($X^3\Sigma_g-$), (${}^1\Sigma_g^+$) \rightarrow ($a^1\Delta_g$) и (${}^1\Sigma_g^+$) \rightarrow ($X^3\Sigma_g-$) в изолированной молекуле кислорода запрещены. Первый переход запрещен трижды (орбитально, по спину и четности), второй дважды (орбитально и по четности), третий по спину и четности, однако экспериментально наблюдаются как низкоинтенсивные магнитные дипольные переходы ($a^1\Delta_g$) \rightarrow ($X^3\Sigma_g-$), (${}^1\Sigma_g^+$) \rightarrow ($X^3\Sigma_g-$) и квадрупольный переход (${}^1\Sigma_g^+$) \rightarrow ($a^1\Delta_g$). Природа формирования магнитных дипольных переходов ($a^1\Delta_g$) \rightarrow ($X^3\Sigma_g-$), (${}^1\Sigma_g^+$) \rightarrow ($X^3\Sigma_g-$) и квадрупольного перехода (${}^1\Sigma_g^+$) \rightarrow ($a^1\Delta_g$) в изолированной молекуле кислорода впервые рассмотрена в работах Б.Ф. Минаева [2], там же приведены численные величины, характеризующие интенсивности этих переходов.

Люминесценция молекулярного кислорода определяется излучательным переходом

($a^1\Delta_g$) \rightarrow ($X^3\Sigma_g-$). Впервые такой переход очень малой интенсивности, связанный с дезактивацией синглетного кислорода $a^1\Delta_g$, наблюдался в газовой фазе для паров бензола в кислороде. В жидкой фазе люминесценцию кислорода впервые наблюдал А.А. Красновский (мл.) в 1972 г. при освещении насыщенных воздухом растворов пигментов [3]. Возбужденное синглетное состояние ($a^1\Delta_g$) получали в процессе сенсибилизированного переноса энергии. При этом Красновский (мл.) изучал люминесценцию синглетного кислорода в растворах сенсибилизаторов, растворители которых (фреоны, сероуглерод, четыреххлористый углерод и др.) слабо тушат синглетный кислород [4]. Автор утверждал, что спектр люминесценции не зависит от природы растворителей и пигментов. В дальнейшем, при исследовании люминесценции молекулярного кислорода, была обнаружена зависимость интенсивности и излучательного времени жизни τ состояния ($a^1\Delta_g$) от свойств окружающей среды (в газовой фазе) [5] и свойств растворителя (в жидкой фазе) [6]. Изучению характеристик ($a - X$) и ($b - a$) и ($b - X$) переходов в зависимости от среды посвящено множество экспериментальных и теоретических работ [7-26]. Эта проблема и в настоящее время активно обсуждается в научной литературе [27, 28].

Существует несколько механизмов, объясняющих индуцирование излучательного электродипольного перехода ($a - X$) под влиянием окружения и «заимствования» им интенсивности из других разрешенных синглет-синглетных и триплет-триплетных переходов молекул растворителя [18, 19].

В 1985 г. Б.Ф. Минаевым было показано [18], что в бимолекулярных комплексах столкновений (к.с.), содержащих кислород, излучательная вероятность электродипольного перехода ($a - X$) в кислороде «заимствуется» из индуцируемого в процессе столкновения электродипольного перехода ($b - a$).

$$M(a-X) = C_{bx} M(b-a) + Q \dots, \quad (1)$$

где $M(a-X)$ и $M(b-a)$ – величины электродипольных моментов переходов, а C_{bx} – матричный элемент оператора спин-орбитального взаимодействия,

$C_{bx} = \frac{\langle X | H_{SO} | b \rangle}{E_b - E_X}$, Q – сумма вкладов всех остальных величин, определяющих интегральную величину $M(a-X)$, которая, по мнению Минаева, много меньше первого слагаемого. Эта идея была развита в работах [20, 21], получила экспериментальное подтверждение и научное признание [8-15]. Напомним, что для изолированной молекулы O_2 соответствующая переходу $b-a$ экспериментально наблюдаемая полоса Ноксона [29] в газовой фазе проявляется как квадрупольный переход. Электро-дипольный излучательный переход $b-a$ в молекуле кислорода запрещен, поэтому данный механизм не проявляется для изолированных молекул кислорода.

В комплексах столкновения механизм индуцирования $b-a$ связан с искажением структуры одной из вырожденных π_g молекулярных орбиталей (МО) кислорода вследствие привнесения в ее состав дополнительных примесей от коэффициентов атомных орбиталей (АО) партнера по столкновению. Вторая $\pi_g O_2$ в к.с. остается практически неизменной на всем интервале расстояний при сближении молекул [21, 30].

Преобладающий вклад в величину $M(b-a)$, привносит разность дипольных моментов π_g^x и π_g^y МО кислорода [20].

$$M(b-a) = 1/2[\mu(\pi_g^x) - \mu(\pi_g^y)] + \dots \quad (2)$$

Немаловажное значение имеют вклады, обусловленные состояниями переноса заряда (СПЗ). Показано, что для полярных растворителей возможны случаи, когда преобладающим вкладом в величину $M(b-a)$ является слагаемое, связанное с постоянным дипольным моментом состояний СПЗ [25], наряду со значительным вкладом и от слагаемого $1/2[\mu(\pi_g^x) - \mu(\pi_g^y)]$.

Взаимное влияние сталкивающихся партнеров приводит, в той или иной степени, к искажению МО индивидуальных молекул. Наиболее подвержены изменению π_g МО кислорода. На значительных расстояниях МО комплекса практически не отличаются от МО сталкивающихся молекул. При уменьшении межмолекулярного расстояния R МО комплекса наряду с коэффициентами АО кислорода содержат ненулевые вклады от всех коэффициентов «чужих» молекул.

Отсюда следует ожидать зависимости $M(b-a)$ и $M(a-X)$ от числа молекул окружения кислорода, их взаимного расположения, от сорта и числа атомов, входящих в состав комплекса. Расчеты $M(b-a)$ и $M(a-X)$ в тримолекулярных комплексах полностью подтвердили предполагаемые зависимости.

Зависимость $M(b-a)$ и $M(a-X)$ от сорта и количества атомов, входящих в состав молекулы би-, три- и многомолекулярных комплексов

Анализ расчетов свидетельствуют о пропорциональной зависимости $M(b-a)$ от заряда ядра атома молекулы, входящей в состав бимолекулярного комплекса. Например, наличие в составе кислородного комплекса атомов третьего периода приводит к возрастанию $M(b-a)$ по сравнению с бимолекулярными комплексами, содержащими атомы второго периода (табл. 1-3). Результаты расчетов характеристик моментов перехода $b \rightarrow a$ в модельном комплексе $Zn-O_2$ показывают, что его величина возрастает более чем на 5 порядков по сравнению с изолированной молекулой кислорода. Это согласуется с экспериментальными результатами, где отмечается, что $M(b-a)$, $M(a-X)$ в комплексах столкновений могут возрастать на 4-5 порядков в присутствии парамагнитных растворителей [31].

Переход ${}^5[a'{}^1\Delta_g {}^5D_4]^0 \rightarrow {}^5[{}^3\Sigma_g^- {}^5D_{4,3,2,1,0}]^0$ соответствует излучательному вертикальному переходу $a'{}^1\Delta_g > X {}^3\Sigma_g^-$ в молекуле кислорода в контакте с атомом Fe. Цифры свидетельствуют, что величина момента перехода $M(a'-X)$ из темновой компоненты a' имеет ненулевое значение даже при 4.6\AA , а при 3.2\AA становится больше, приблизительно, в 1000 раз, чем величина излучательного момента магнитно-дипольного перехода $M(a-X)$ в чистом кислороде.

Из таблицы видно, что величина излучательной вероятности $A(b-a)$ в модельном комплексе ${}^6[O_2-Mn]$ возросла на 6 порядков по сравнению с чистым кислородом. Величина $A(a-X)$ на большом межмолекулярном расстоянии 7\AA практически совпадает с экспериментальным значением $A(a-X)$ в чистом кислороде $A(a-X) = 1.9 \cdot 10^{-4}$, а при меньших расстояниях резко возрастает, причем для одинаковых расстояний R коэффициент Эйнштейна излучательной вероятности $A(a'-X)$ для кислородных комплексов железа на 3 порядка меньше, чем в (O_2-Mn) . Возрастание $A(a-X)$ в кислородных комплексах, содержащих металлы, согласуется с

Таблица 1. Характеристики моментов перехода b-a, b-a' в модельном комплексе ${}^1[\text{Zn}-\text{O}_2]$

$R(\text{Zn}-\text{O}_2), \text{\AA}$	3.0	2.5
M (b-a) (${}^1\Delta$)	$5.06 \cdot 10^2$	0.1591
A (b-a) (${}^1\Delta$, c^{-1})	$3.09 \cdot 10^2$	$2.18 \cdot 10^3$
$\tau_r(b-a)$ (${}^1\Delta$, c)	$3.2 \cdot 10^{-3}$	$4.5 \cdot 10^{-4}$
ДE (b-a') (${}^2\Delta$)	0.6	0.59
M (b-a') (${}^2\Delta$)	0.0516	0.1896
A (b-a') (${}^2\Delta$, c^{-1})	$1.9 \cdot 10^{-3}$	$1.18 \cdot 10^3$
$\tau_r(b-a')$ (${}^2\Delta$, c)	0.1187	$8.5 \cdot 10^{-4}$

Таблица 2. Характеристики вертикального квинтет-квинтетного электродипольного перехода ${}^5(\text{I}^1\text{D}_g - {}^5\text{Fe}^0) \rightarrow {}^5(\text{X}^3\text{Y}_g - {}^5\text{Fe}^0)$ в комплексе столкновений $(\text{Fe} - \text{O}_2)^0$, согласно неэмпирическим расчетам в базисе 6-31G с учетом двукратных электронных возбуждений

$R(\text{Fe}-\text{O}_2), \text{\AA}$	M (a \square -X), Д	A (a \square -X), c^{-1}
4.6	0.000096	$3.1507 \cdot 10^{-3}$
3.35	0.000420	$5.9972 \cdot 10^{-2}$
3.2	0.000755	$1.9236 \cdot 10^{-1}$

Таблица 3. Величины разрешенных секстет-секстетных электродипольных моментов переходов в комплексе $[{}^6\text{O}_2-\text{Mn}]$, соответствующих b-a, b-a', a-X, a-X' запрещенным переходам в молекуле O_2

Величины $R(\text{O}_2-\text{Mn})$	7 Å	5 Å	4 Å	3 Å
M(b-a), Д	$9 \cdot 10^{-6}$	$6.06 \cdot 10^{-2}$	$8.72 \cdot 10^{-2}$	$1.53 \cdot 10^{-1}$
A(b-a), c^{-1}	$1.48 \cdot 10^2$	$1.43 \cdot 10^3$	$2.95 \cdot 10^3$	$9.29 \cdot 10^3$
f(b-a)	$2 \cdot 10^{-6}$	$1.9 \cdot 10^{-5}$	$3.8 \cdot 10^{-5}$	$1.19 \cdot 10^{-4}$
$\tau_r(b \rightarrow a)$, с	$6.7 \cdot 10^{-3}$	$7.0 \cdot 10^{-4}$	$3.4 \cdot 10^{-4}$	$1.1 \cdot 10^{-4}$
M(b-a'), Д	$1.33 \cdot 10^{-2}$	$4.62 \cdot 10^{-2}$	$9.19 \cdot 10^{-2}$	$6.84 \cdot 10^{-2}$
A(b-a'), c^{-1}	6,9	$8.31 \cdot 10^2$	$1.86 \cdot 10^3$	$3.29 \cdot 10^3$
f(b-a')	$1 \cdot 10^{-6}$	$1.1 \cdot 10^{-5}$	$4.3 \cdot 10^{-5}$	$2.4 \cdot 10^{-5}$
$\tau_r(b \rightarrow a')$, с	0,14	$1.2 \cdot 10^{-3}$	$5.3 \cdot 10^{-4}$	$3.0 \cdot 10^{-4}$
M(a-X), Д	$9 \cdot 10^{-6}$	$9.79 \cdot 10^{-4}$	$5.62 \cdot 10^{-3}$	$2.72 \cdot 10^{-2}$
A(a-X), c^{-1}	$2.93 \cdot 10^{-5}$	$3.73 \cdot 10^{-1}$	$1.23 \cdot 10^1$	$2.85 \cdot 10^2$
E(a-X), э, В,	1,33	1,33	1,33	1,33
f(a-X)	0	0	$1 \cdot 10^{-7}$	$4 \cdot 10^{-6}$
$\tau_r(a \rightarrow X)$, с	34129	2,7	0,08	0,0035
M(a'-X), Д	$7.7 \cdot 10^{-6}$	$3.36 \cdot 10^{-3}$	$1.14 \cdot 10^{-2}$	$2.0 \cdot 10^{-2}$
A(a'-X), c^{-1}	$2.32 \cdot 10^{-3}$	4,39	$5.1 \cdot 10^1$	$1.54 \cdot 10^2$
E(a'-X), э, В,	1,33	1,33	1,33	1,33
f(a'-X)	0	0	$1 \cdot 10^{-6}$	$2 \cdot 10^{-6}$
$\tau_r(a' \rightarrow X)$, с	431	227	0,02	0,006

теоретическими и экспериментальными данными [32, 33].

Приведенные цифры показывают возрастание в 1000 и более раз переходов (b – a), (a → X) в кислородных комплексах, содержащих металлы, по сравнению с чистым кислородом.

Увеличение числа атомов в различных молекулах ближайшего окружения кислорода для одного и того же R также приводит к изменению излучательных переходов (b – a) и (a → X) (табл. 4, 5).

Численные значения для индуцированного электродипольного перехода a-X приведены в [25]. Например, в комплексе $\text{O}_2-\text{CH}_3\text{OH}$ величина M(a-X)= $0.989 \cdot 10^{-4}$ eÅ (R=3,0 Å).

Таблица 4. Величина электродипольного перехода b-a в бимолекулярных комплексах столкновений O_2-M . Расчет в приближении MINDO/3 +KB2

Комплекс O_2-M	O_2-H_2 R=2,8 Å	O_2-N_2 R=2,8 Å	O_2-CO_2 R=3,0 Å	$\text{O}_2-\text{CH}_3\text{OH}$ R=3,0 Å	O_2-SO_2 R=3,2 Å	O_2-CS_2 R=3,4 Å
M(b-a), eÅ	0,0012	0,0024	0,00655	0,011	0,00875	0,00857

Комплекс O_2-M	O_2-H_2 R=2,4 Å	$\text{O}_2-\text{H}_2\text{O}$ R=2,6 Å	O_2-CO_2 R=2,8 Å	O_2-NH_3 R=2,4 Å	$\text{O}_2-\text{CH}_3\text{OH}$ R=3,2 Å	$\text{O}_2-\text{C}_2\text{H}_4$ R=3,0 Å
M(b-a), eÅ	0,0047	0,0052	0,00732	0,01145	0,004871	0,017

Таблица 5. Неэмпирические расчеты в рамках пакета программ GAMESS с учетом KB4, в базисе 6-31G энергетических и спектральных характеристик электродипольного перехода b-a в бимолекулярных комплексах столкновений O_2-M , M = NH_3 , C_2H_4 , NH_2CH_3 , C_6H_6

Комплекс O_2-M	O_2-NH_3 R=3,0 Å	$\text{O}_2-\text{C}_2\text{H}_4$ R=3,2 Å	$\text{O}_2-\text{NH}_2\text{CH}_3$ R=3,0 Å	$\text{O}_2-\text{C}_6\text{H}_6$ R=3,0 Å
M(b-a), ea ₀	0,0108	0,0163	0,02174	0,0295
ΔE(b-a), Э, В, Е	0,68	0,67	0,69	0,663
f(b-a)	$2 \cdot 10^{-6}$	$4,10 \cdot 10^{-6}$	$8,10 \cdot 10^{-6}$	$14 \cdot 10^{-6}$
A(b-a), c ⁻¹	41,8	98,3	167,	274,6

Таблица 6. Величины M(b – a) в двойных O_2-M и тройных комплексах $\text{O}_2-\text{M}-\text{C}_2\text{H}_4$; $R(\text{O}_2-\text{N})=R(\text{O}_2-\text{C}_2\text{H}_4)=2,8 \text{ \AA}$; $R(\text{O}_2-\text{H}_2\text{O})=R(\text{O}_2-\text{C}_2\text{H}_4)=3,2 \text{ \AA}$

Комплекс	M(b-a), eÅ	Комплекс	M(b-a), eÅ
O_2-N_2	0,0024	$\text{O}_2-\text{H}_2\text{O}$	0,0004
$\text{O}_2-\text{C}_2\text{H}_4$	0,0163	$\text{O}_2-\text{C}_2\text{H}_4$	0,0163
$\text{O}_2-\text{N}_2-\text{C}_2\text{H}_4$	0,018	$\text{O}_2-\text{H}_2\text{O}-\text{C}_2\text{H}_4$	0,0169

Полученные данные свидетельствуют, что $M(b-a)(\text{O}_2-\text{C}_6\text{H}_6) > M(ba)(\text{O}_2-\text{C}_2\text{H}_4) > M(b-a)(\text{O}_2-\text{CH}_3\text{OH}, \text{O}_2-\text{NH}_3, \text{O}_2-\text{CO}_2, \text{O}_2-\text{H}_2\text{O}, \text{O}_2-\text{H}_2)$ даже при расстоянии R большем, чем R для перечисленных молекул, поэтому следует ожидать, что при $R(\text{O}_2-\text{C}_6\text{H}_6)=R(\text{O}_2-\text{CH}_3\text{OH}, \text{O}_2-\text{NH}_3, \text{O}_2-\text{CO}_2, \text{O}_2-\text{H}_2\text{O}, \text{O}_2-\text{H}_2)$ ряд еще более усилится. Это доказывает зависимость M(b-a), а следовательно, и M(a-X) от Z атома, числа атомов – n, содержащихся в молекуле M, и числа молекул – N ближайшего окружения кислорода.

Важно отметить последнее положение, согласно которому величина M(b – a) представляет собой аддитивную величину (табл. 6). При неизменном межмолекулярном расстоянии в тройных комплексах она больше, чем в бимолекулярных, и примерно равна сумме [22, 34]:

$$M(b-a)(\text{C}_2\text{H}_4-\text{O}_2-\text{M}) = M(b-a)(\text{O}_2-\text{Э}) + M(b-a)(\text{O}_2-\text{M})$$

Теоретические исследования ab initio [28] также подтверждают эти выводы.

Аддитивность величины M(b – a) может быть названа первичным кооперативным эффектом, поскольку при добавлении в раствор нового растворителя величина M(b – a) будет определяться слагаемыми:

$M(b-a)_{\text{РАСТВОР}} = M(b-a)_{\text{РАСТВ}_1} + M(b-a)_{\text{РАСТВ}_2} + M(b-a)_{\text{СЕНС}}$, но при этом может возрастать или убывать, в зависимости от сольватных свойств молекул полученной смеси. На рисунках 1, 2 наглядно представлены вклады в одну из π_g MO кислорода от нескольких молекул ближнего окружения кислорода, подтверждающие аддитивные свойства $M(b-a)_{\text{РАСТВОРА}}$.

Рисунок 1 демонстрирует структуру обеих π_g MO кислорода в тройном комплексе $(\text{Э} - \text{O}_2 - \text{Э})$, где Э – этилен. Видно, что одна из π_g существенно искажена и имеет значительные примеси от АО двух молекул этилена. Другая π_g MO кислорода в тройном комплексе остается «чистой». Несмотря на то, что две молекулы этилена расположены симметрично относительно молекулы кислорода, их вклады в $M(b-a)_{\text{РАСТВОРА}}$ не уничтожаются и не компен-

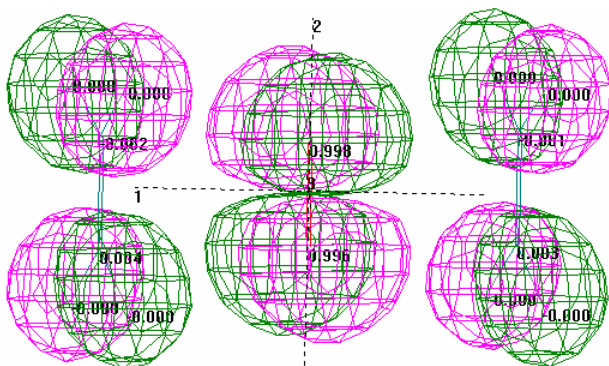


Рисунок 1. Изображение структуры p_g^y и $p_g^z(O_2)$ в тройном контактном комплексе $C_2H_4 - O_2 - C_2H_4$.
Заряд комплекса $q = 0$, мультиплетность $M = 3$.

сируют друг друга. Расчет произведен на фиксированной геометрии ограниченным методом Хартри Фока (ROHF) для открытых оболочек с использованием базиса 6-31G в рамках пакета программ HyperChem. Оптимизация комплекса проведена на предварительном этапе методом PM3. Структура π_g MO кислорода в тройном комплексе Э – O_2 – Э имеет следующий вид:

$$\begin{aligned} \pi_g^z(O_2) & -0,9[(p_z)(O) + (p_z)(O)](O_2) \\ \pi_g^y(O_2) & 0,845[(p_y)(O) - (p_y)(O)](O_2) \\ & + 0,42[(p_y)(C_1)(\text{Э})_1 - (p_y)(C_2)(\text{Э})_1] \\ & - 0,415[(p_y)(C_1)(\text{Э})_2 - (p_y)(C_2)(\text{Э})_2] \end{aligned}$$

Определяющая роль сенсибилизатора в формировании величин $M(b-a)$ и $M(a-X)$

Согласно расчетам в двойных и тройных комплексах столкновения, а также в кислородных системах, содержащих большое количество

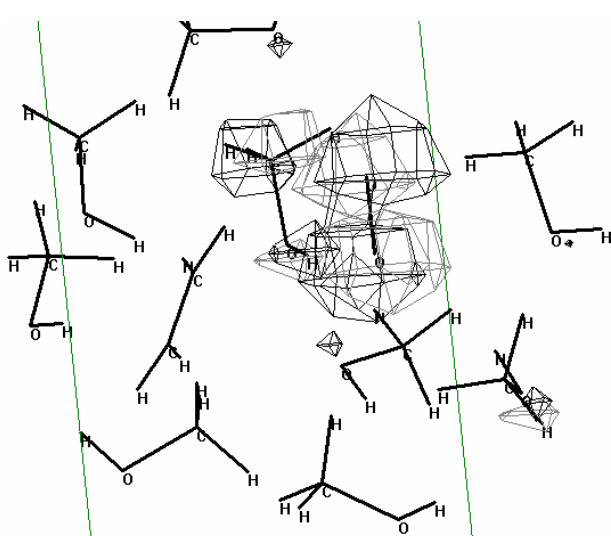
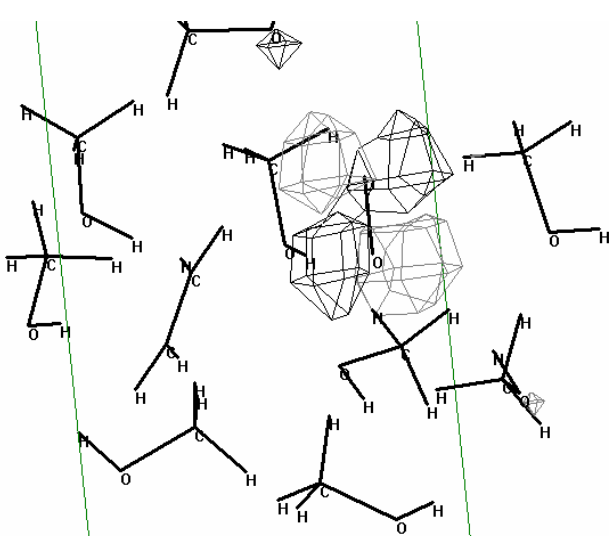
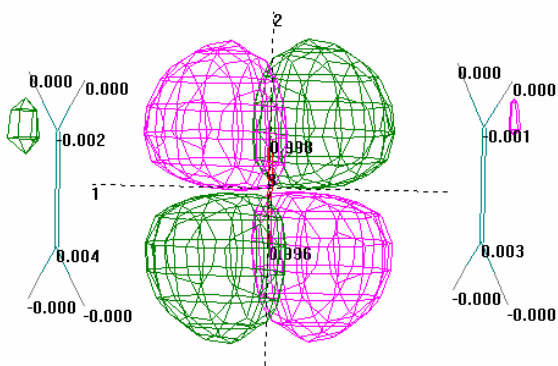


Рисунок 2. Изображение структуры двух ортогональных p_g MO (O_2) в многомолекулярной кислородной системе $C_2H_4 - O_2 - 10(CH_3OH)$, моделирующей сольватные свойства растворителя.
Заряд системы $q = 0$, мультиплетность $M = 3$. Расчет проведен методом НХФ PM3.
 p_g MO (O_2) №55 альфа $E = -13,22$ эВ; p_g MO (O_2) №56 альфа $E = -13,17$ эВ

молекул, вклад от слагаемого, величина которого определяется АО, молекулы сенсибилизатора значительно больше, чем вклад от слагаемого, связанного с молекулами растворителя, расположеннымными в непосредственной близости от кислорода [35].

Это положение можно наглядно продемонстрировать (рис. 3, 4).

Неэмпирические расчеты $M(b-a)$ и $M(a-X)$ в кислородных комплексах, содержащих большие биоорганические молекулы, затруднительны, однако, оставаясь в рамках полуэмпирических методов, можно и в этом случае наглядно продемонстрировать наибольшие искажения в структуре только одной из двух π_g MO O_2 , вызванные коэффициентами больших молекул, и подтвердив тем самым факт индуцирования излучательного электродипольного момента $M(b-a)$, пусть на качественном уровне (рис. 3), и доказать, что малые молекулы окружения (моделирующие растворитель) в совокупности оказывают значительно меньшее влияние на величину $M(b-a)$, чем, например, большие

органические молекулы, находящиеся в непосредственной близости от кислорода (рис. 4). Степень искажения одной из MO π_g видна по присутствию дополнительных вкладов от АО партнера кислорода.

На рисунке 4 изображена система антрацен – кислород в окружении более 30 молекул воды. Исходя из графического изображения двух π_g MO кислорода, полученных в результате расчета методом ZINDO1, можно увидеть, что коэффициенты АО молекулы воды в π_g MO кислорода много меньше, чем коэффициенты АО молекулы антрацена.

Теоретические расчеты $M(b-a)$ и $M(a-X)$ в тройных кислородных комплексах столкновения $\mathcal{E} - O_2 - M$, содержащих в своем составе этилен, кислород и молекулу $M = H_2, N_2, CO_2, H_2O, CH_3OH, CCl_4$, показали, что при расчете величины $M(b-a)$ наибольший вклад в одну из наиболее искаженных π_g MO кислорода привносят АО этилена – (\mathcal{E}) или бензола – (Б), вклады же от АО молекулы M в данную π_g MO совершенно незначительны [36, 37] (рис. 5, табл. 7).

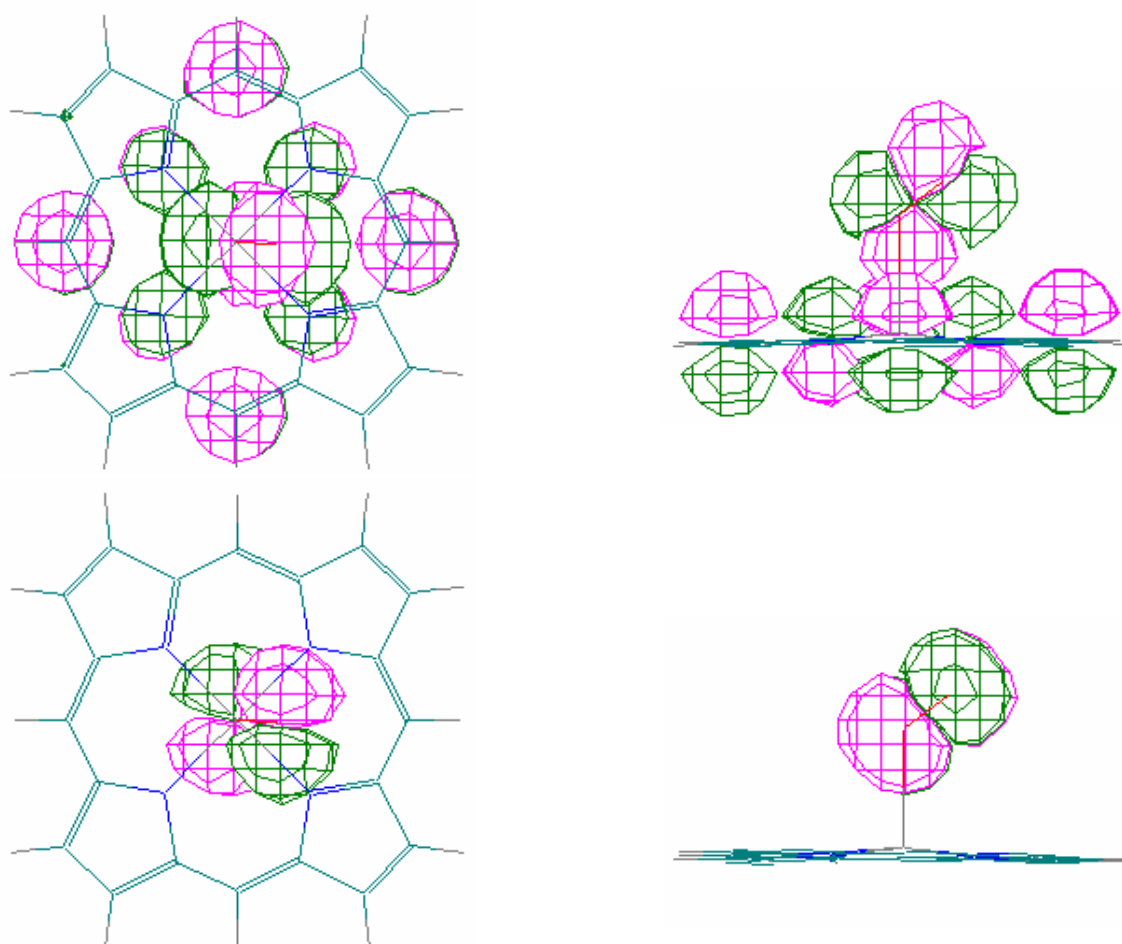


Рисунок 3. Искаженная и неискаженная π_g MO O_2 в модельном комплексе металлопорфирина – O_2 . В качестве металла выбран Mg. $R(Mg - O_2) = 2.438 \text{ \AA}$. Расчет проведен методом ZINDO1 в рамках неограниченного Хартри – Фока. Заряд комплекса $q = 0$, мультиплетность $M = 5$. Рисунок дан в двух ракурсах.

Наглядно этот результат отражается на величинах $M(b-a)$ и $M(a-X)$, которые в бимолекулярных комплексах с этиленом $O_2-C_2H_4$ или с бензолом $O_2-C_6H_6$ практически на порядок больше, чем в комплексах O_2-M , не содержащих, C_2H_4 , C_6H_6 (табл. 4, 5). И, наконец, расчеты в тройных комплексах $C_2H_4-O_2-M$ доказывают, что наибольший вклад в $M(b-a)$ остается от C_2H_4 . Например, в тройном комплексе $M(b-a)(C_2H_4-O_2-N_2)=0,018 \text{ e}\AA^-$. Большая часть от цифры $0,018 \text{ e}\AA^-$ составляет $M(b-a)(O_2-\mathcal{E})=0,0163 \text{ e}\AA^-$, то есть вклад от этилена преобладающий, а незначительный остаток приходится на

вклад от молекулы $M M(b-a)(O_2-N_2)=0,0024 \text{ e}\AA^-$ (табл. 6, рис. 5). Подобная тенденция сохраняется и для других комплексов.

Заключение

На основании полученного цифрового материала можно с уверенностью утверждать, что неполярный растворитель практически не оказывает влияния на люминесценцию кислорода, которая в основном будет определяться структурой и свойствами электронной оболочки сенсибилизатора, если молекулы растворителя расположены далеко от контактной пары

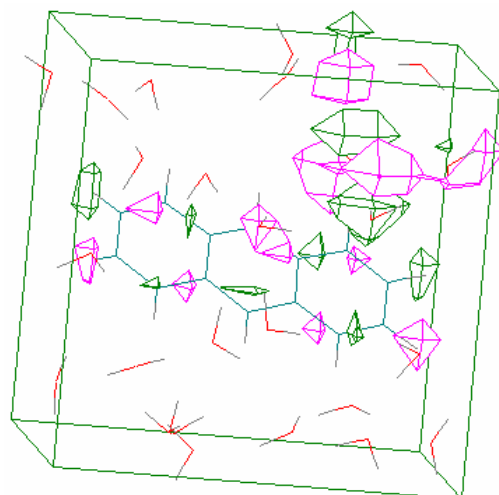
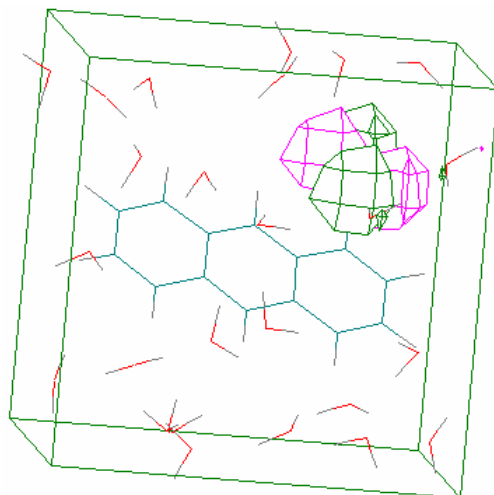


Рисунок 4. Искаженная №136 в – MO ($1p_g(O_2)$) $E = -11.37 \text{ эВ}$
и неискаженная p_g MO №133 б – MO $2p_g(O_2)$ $E = -11.56 \text{ O}_2$
в модельном комплексе антрацен – кислород в окружении 30 молекул воды.

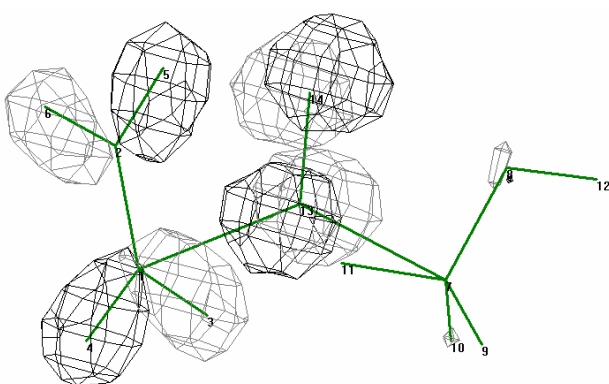


Рисунок 5. Изображение структуры $p_g^X(O_2)$ в тройном контактном комплексе $C_2H_4-O_2-CH_3OH$.
Заряд комплекса $q = 0$, мультиплетность $M = 3$
МО №18 альфа UHF $E = -11.00 \text{ эВ}$ МЧПДП/3
HyperChem

Таблица 7. Структура p_g MO кислорода в тримолекулярных модельных комплексах ${}^1[M...O_2...\mathcal{E}]^0$, $\mathcal{E} = C_2H_4$, $M = N_2$, C_6H_6 , CCl_4

M	$\# \pi_g$	$E, \text{эВ}$	Структура орбитали
N_2	$16 \pi_g^X$	-9,93	$[O_1(-0,54p_X) + O_2(0,54p_X)]O_2 +$ $+ [O_1(0,36p_Z) + O_2(-0,36p_Z)]O_2 +$ $+ [C_6(-0,15p_X) - C_5(0,23p_X)]\mathcal{E} +$ $+ [N_9(-0,0p_X) - N_{10}(0,0p_X)]N_2$
	$18 \pi_g^Z$	-0,20	$[O_1(0,69p_Z) + O_2(-0,69p_Z)]O_2 +$ $+ [O_1(-0,11p_X) + O_2(0,11p_X)]O_2 +$ $+ [C_6(-0,015p_Z) - C_3(0,017p_Z)]\mathcal{E} +$ $+ [N_{12}(0,02p_X) + N_{12}(0,02p_Z)]N_2$
C_6H_6	$19 \pi_g^Y$	-9,72	$[O_1(0,65p_Y) - O_2(0,65p_Y)]O_2 +$ $+ [O_1(-0,26p_Z) + O_2(0,25p_Z)]O_2 +$ $+ [C_6(0,013p_Z) - C_4(0,011p_Z) - C_3(0,013p_Z)]\mathcal{B}$
	$24 \pi_g^Z$	0,16	$[O_1(-0,63p_Z) + O_2(0,63p_Z)]O_2 +$ $+ [O_1(-0,25p_Y) + O_2(0,25p_Y)]O_2 +$ $+ [C_6(0,11p_Z) - C_5(0,14p_Z) + C_3(0,13p_Z)]\mathcal{B}$
CCl_4	$26 \pi_g^Z$	-9,95	$[O_1(0,63p_Z) - O_2(0,55p_Z)]O_2 +$ $+ [C_4(0,38p_Z) + (0,16S)[H_5-H_6-H_7+H_8]\mathcal{E} +$ $+ (0,0)[CCl_4]$
	$31 \pi_g^Y$	-1,03	$[O_1(-0,58p_Y) + O_2(0,56p_Y)]O_2 +$ $+ [O_1(-0,36p_X) + O_2(0,21p_X)]O_2 +$ $+ [C_3(-0,11p_Y) + C_4(0,11p_Y)]\mathcal{E} -$ $- (0,11S)[H_5-H_6-H_7+H_8]\mathcal{E} +$ $+ (0,02)[S-P_X-P_Y + P_Z](C) CCl_4 +$ $+ (0,01)[P_Y + P_Y + P_Y + P_Y](Cl) CCl_4$

кислород – сенсибилизатор. Существенные отклонения от данного положения при неизменном сенсибилизаторе будут наблюдаться только в том случае, если молекулы полярного (не-полярного) растворителя будут расположены гораздо ближе к молекуле кислорода, и (или)

их число в первом окружении увеличится, и (или) они будут содержать атомы с большим Z. Таким образом, по изменению излучательных характеристик люминесценции кислорода можно судить о сольватных свойствах растворителя.

Список использованной литературы:

1. Мулдахметов З.М., Минаев Б.Ф., Кецле Г.А. Оптические и магнитные свойства триплетного состояния. – Алма-Ата: Изд. Наука, 1983. – См. с. 179-238.
2. Минаев Б.Ф. Влияние спин-орбитального взаимодействия на интенсивность магнитных дипольных переходов в молекуле кислорода // Изв. вузов. Сер. Физика 1978, № 9, с. 115 – 120.
3. Красновский А.А. (мл.) Люминесценция синглетного кислорода в растворах фотосенсибилизаторов // ЖПС. 1980. Т. 32. В. 5. С. 852-856.
4. Красновский А.А. (мл.) Синглетный молекулярный кислород и первичные механизмы фотодинамического действия оптического излучения. - Л.: Наука, 1981. С. 64-134.
5. Long G., Kearns D.R. Selection rules for the intermolecular enhancement of spin forbidden transitions in molecular oxygen // J. Chem. Phys. 1973, V. 59, № 10. P. 5729-5736.
6. Красновский А.А. (мл.) Люминесценция при фотосенсибилизированном образовании синглетного кислорода в растворах / / Возбуждение молекулы. Кинетика превращений. - Л.: Наука, 1982. С. 32-60.
7. Красновский А.А. мл. // Автограферат дис. докт. биол. наук. И. 1983.
8. Fink E.H., Setzer K.D., Wildt J., Ramsay D.A., and Vervloet M. // Int. J. Quant. Chem., 39: 287, 1991.
9. J. Wildt E.H., Fink P., Biggs R.P., Wayne and A.F. Vilesov. // Chem. Phys., 159:127,1992.
10. Ogilby P.R. // Ace. Chem. Res., 32: 512, 1999.
11. Darmanyan A.P. // Khim.Fiz., 6: 1192, 1987. (USSR), 67: 453, 2000.
12. Райченок Г.Ф., Бытева И.М., Салохиддинов К.И., Болотъко Л.М. Возрастание интенсивности люминесценции кислорода под воздействием посторонних газов // Опт. и спектр. 1980. Т. 19. В. С. 1208 – 1211.
13. Losev A.P., Byteva I.M., and Gurinovich G.P. // Chem. Phys. Lett., 143: 127, 1988.
14. Schmidt R and Bodesheim M. // J. Phys. Chem., 99: 15919, 1995.
15. Scurlow R.D., Nonell S., Braslavsky S.E., and Ogilby P.R. // J. Phys. Chem., 99: 3521, 1995.
16. Kearns D.R. Physical and chemical properties of singlet molecular oxygen // J. Chem. Rev., 1971, V. 71. P. 395.
17. Minaev B.F. Intensities of Spin-Forbidden Transitions in Molecular Oxygen and Selective Heavy Atom Effects // Int. J. Quant. Chem 1980. V. 17. P. 367.
18. Минаев Б.Ф. Теория влияния растворителя на радиационную вероятность перехода а-Х в молекуле кислорода // Опт. и спектр. 1985. Т. 58. №6. С. 1238 – 1241.
19. Kearns D.R. Physical and chemical properties of singlet molecular oxygen // J. Chem. Rev., 1971, V. 71. P. 395.
20. Minaev B.F., Lunell S., Kobzev G.I. The influence of intermolecular interaction the forbidden near-IR (Theochem), V.284. 1993. P.1-9.
21. Minaev B.F., Lunell S., Kobzev G.I. Collision-induced intensity of the $b(^1S^+)^{\otimes}a(^1D_g}$ transition in molecular oxygen: Model calculations for the collision complex O_2+H_2 // Int. J. Quant. Chem. V.50, 1994 c. 279-292. 8. B.F. Minaev, S. Lunell, and G.I. Kobzev. Int. J. Quant. Chem., 50:279, 1994
22. Минаев Б.Ф., Иванова Н.М., Федулова И.Е., Кобзев Г.И., Мулдахметов З.М. Кооперативное влияние молекул C_2H_4 и H_2 на переходы б-а и а-Х в молекуле O_2 , в тройном комплексе // ЖПС. 2000. – №4, т.67, с.453-456. 9. B.F.Minaev, N.M. Ivanova, L.V. Fedulova, G.I. Kobzev, Z.M. Muldahemetov J. Appl. Spectrosc.
23. Minaev B.F. Solvent Induced Emission of Singlet Molecular Oxygen // J. Mol. Struct. THEOCHEM, 183:207, 1989.
24. Минаев Б.Ф. Автореф. дис. д.х.н., Москва, изд. ИХФ, 1983, с. 150.
25. Кобзев Г.И. Теоретическое исследование основного и первых возбужденных электронных состояний кислородных комплексов столкновений. Дис. канд. хим. наук. – Караганда, 1996. – 188 с.
26. Schweitzer C., Schmidt R. Physical Mechanisms of Generation and Deactivation of Singlet Oxygen // J. Chem. Rev., 2003, V. 103. P. 1685-1757.
27. Minaev B.F., Kobzev G.I. Response calculations of electronic and vibrational transitions in molecular oxygen induced by interaction with noble gases // J. Spectrochimica Acta Part A 00 (2003) p.1-24.
28. J. F. Noxon J. F. // Can. J. Phys., 39:1110, 1961.
29. Кобзев Г.И., Минаев Б.Ф., Мулдахметов З.М., Мартынов С.И., Безносюк С.А., Мозговая Т.А. Механизм возрастания интенсивности $a(^1D_g)$ – $b(^1S^+)$ перехода в молекуле кислорода под влиянием межмолекулярного взаимодействия // Журн. «Оптика и спектроскопия» 1997. – т.83, №1, с. 64-68.
30. Belford R. E., Seely G., Gust D., Moore. T. A., Moore A., Cherepy N. J., Ekbundit S., Lewis J. E., Lin S. H. // J. Photochem. Photobiol. A: Chem. 1993, 70, 125.
31. Джагаров Б.М., Гуринович Г.П., Новиценков В.Е., Салохиддинов К.И., Щульга А.М., Ганжа В.А. Фотосенсибилизированное образование синглетного кислорода и квантовые выходы интеркомбинационной конверсии в молекулах порфиринов и металлопорфиринов // Хим. физика. 1987. Т. 6. №8. С. 1069-1078.
32. Салохиддинов К.И., Бытева И.М., Гуринович Г.П. Время жизни синглетного кислорода в разных растворителях // ЖПС. 1981. Т. 34. В. 5. С. 892-897.
33. Кобзев Г.И. Зависимость электродипольных моментов переходов M(a-X) и M(b-a) в O_2 от взаимного расположения молекул C_2H_4 и N_2 в тройном комплексе столкновений $C_2H_4-O_2-N_2$ // Труды региональной школы-семинара «Квантово-химический расчеты: структура и реакционная способность органических и неорганических молекул». Иваново, 12-15 апреля 2003 г. С. 8-12.
34. Кобзев Г.И., Мулдахметов З.М., Федулова И.В., Богомолова Е.Ф. Исследование причин индуцирования и изменения величины электродипольного момента $b(^1S^+)-a(^1D_g)$ в кислородных комплексах столкновений // Труды международной научной и научно-методической конференции «Наука и образование 1997». – Шымкент, 1997. – С. 337-338.
35. Кобзев Г.И., Мулдахметов З.М., Федулова И.В. Дезактивация синглетного кислорода в тройных комплексах $O_2...CH_3OH...C_2H_4$ // Материалы Республиканской научно-практической конф. «Состояние перспективы производства органических материалов на базе сырьевых ресурсов Центр. Казахстана», посвященной 25-летию Карагандинского политехнического университета. Караганда, 1997. – с. 146-147
36. Кобзев Г.И. Зависимость моментов переходов (а-Х) и (b-a) в кислороде от структуры и числа молекул в среде и их взаимной ориентации // Труды VII Менделеевского съезда по общей и прикладной химии. Казань, 19-24 сентября 2003 г. Т.1. С. 140.